

鸭梨 ACC 氧化酶基因 cDNA 片段的克隆及农杆菌介导的反义遗传转化*

齐靖¹, 董祯², 张玉星³

(1 河北经贸大学生物科学与工程学院, 河北 石家庄 050061; 2 河北女子职业技术学院, 河北 石家庄 050091; 3 河北农业大学园艺学院, 河北 保定 071001)

摘要: 研究根据 ACC 氧化酶基因的保守序列设计一对特异性引物, 以鸭梨果实为试材, 借助 RT-PCR 方法扩增得到一条长度为 831 bp 的鸭梨 ACC 氧化酶基因 cDNA 片段, 该片段编码 276 个氨基酸残基, 与其它梨品种 ACC 氧化酶基因序列同源性均在 94% 以上。将此片段反向插入真核表达载体 pBI121 的 CaMV 35S 启动子和 NOS 终止子之间, 构建了鸭梨 ACC 氧化酶基因的反义表达载体, 并在农杆菌 LBA4404 的介导下实现对鸭梨组培苗的遗传转化。经 PCR 鉴定证实共有 4 株鸭梨组培苗中外源基因得到成功转化, Southern 杂交显示在这 4 株转基因鸭梨中除有 1 株外源基因呈双拷贝外, 其余 3 株中外源基因均以单拷贝形式存在。

关键词: 梨; ACC 氧化酶; RT-PCR; 反义表达载体; 遗传转化

中图分类号: Q 784

文献标识码: A

文章编号: 2095-0845(2014)05-622-07

Cloning of ACC Oxidase Gene from Yali Pear and Transformation of Its Antisense Expression Vector with Agrobacterium-mediated Method

QI Jing¹, DONG Zhen², ZHANG Yu-Xing³

(1 College of Biology Science and Engineering, Hebei University of Economics and Business, Shijiazhuang 050061, China;

2 Hebei Women's Vocational College, Shijiazhuang 050091, China; 3 College of Horticulture,

Agriculture University of Hebei, Baoding 071001, China)

Abstract: In this study, a partial ACC oxidase (ACO) gene-like cDNA sequence was obtained through homology-based cloning from Yali (*Pyrus bretschneideri* cv. 'Yali') plant. Primers were designed according to the highly conserved regions of published ACO gene sequences, and RT-PCR cloning was conducted by using Yali fruit cDNA. The obtained ACO-like cDNA fragment contains 831 base pairs which encodes 276 predicted amino acid residues, and shares no less than 94% nucleotide sequence identity with all published ACO genes. We further inversely inserted the ACO-like cDNA fragment into pBI121 expression vector, and transformed it into tissue cultured Yali plants by using Agrobacterium LBA4404. Finally, 4 independent transgenic lines harboring the anti-sense ACO-like fragment were obtained and validated by PCR analysis. Southern blotting assay revealed 3 transgenic lines containing single copy of the foreign gene, and 1 line with 2 insertion copies.

Key words: Yali pear; ACC oxidase; RT-PCR; Antisense expression vector; Genetic transformation

鸭梨 (*Pyrus bretschneideri* cv. 'Yali') 原产我国, 是我国北方地区主栽的梨品种之一, 也是我国出口创汇的重要果品。鸭梨果实口感甜脆多汁, 不但营养丰富, 还具有生津润燥、镇咳止喘

* 基金项目: 河北省科技计划资助项目 (11220103D-9); 河北省高等学校科学技术研究指导项目 (Z2012065)

收稿日期: 2013-11-20, 2014-02-20 接受发表

作者简介: 齐靖 (1981-) 男, 博士, 讲师, 主要从事植物生理与分子生物学方面研究。E-mail: qijing@heuet.edu.cn

和润肺护肝等药用价值。近年来,随着生活水平的不断提高,对梨果品终年供应的需求问题日渐突出,果品的延熟保鲜及延长果实的货架寿命,已经成为鸭梨果品生产经营中的一个重大难题。我国科技工作者围绕着延长鸭梨贮藏期的问题进行了大量的研究工作,先后探明了鸭梨果实在采收、贮藏和加工等过程中外界环境对果实衰老的影响(朱麟等,2009;李家政等,2012),并基于此明确了一系列果品保鲜措施,但这些举措并不能从根本上实现对鸭梨果实衰老生理的调控,因而也就无法完全解决鸭梨果实保鲜问题。只有对影响鸭梨果实贮藏特性相关的基因进行改造,培育耐贮藏鸭梨新品种才是解决鸭梨果品保鲜问题的关键。

已有研究证实,鸭梨是典型的呼吸跃变型果实,乙烯对其果实成熟具有重要调控作用(张宪省和阎先喜,1994)。降低梨果实的内源乙烯合成,是延长其果实贮藏、保鲜期的根本途径之一。乙烯在植物体内的生物合成途径为:Met(甲硫氨酸)→SAM(S-腺苷甲硫氨酸)→ACC(1-氨基环丙烷-1-羧酸)→Ethylene(乙烯)(Yang 和 Hoffman, 1984),这一过程的最终步骤乙烯直接前体 ACC 的氧化受到 ACC 氧化酶(ACO)调控,改变 ACC 氧化酶在植物体内的含量将会直接影响到乙烯的体内合成(Adams 和 Yang, 1979)。基于 ACC 氧化酶在乙烯内源合成中的重要调控作用,本研究借助反义 RNA 技术抑制鸭梨 ACC 氧化酶内源合成为目标,围绕着鸭梨 ACC 氧化酶基因开展了 cDNA 片段的克隆和反义表达载体构建的研究;并借助农杆菌介导的遗传转化技术成功实现了 ACC 氧化酶基因片段对鸭梨组培苗的反义遗传转化,从而为将来培育出耐储梨新品种及其他果树耐储新品种的培育提供了优质种质资源,也为反义 RNA 技术在鸭梨遗传改良研究中的进一步应用提供了参考资料。

1 材料与方法

1.1 材料

鸭梨果实采自河北农业大学标本园。采摘成熟、无病害果实,用冰盒带回实验室,4℃低温保存。

大肠杆菌菌株 DH5 α 、克隆载体 pUCm-T Vector、UNIQ-10 柱式质粒小量抽提试剂盒和 DNA 胶回收试剂盒

为上海生工公司产品;Oligo(dT) 15、RTase M-MLV、Taq 酶、dNTP、限制性内切酶、T4 连接酶、基因组提取试剂盒以及 DNA Marker 均购自 TAKARA 公司;地高辛标记和检测试剂盒为美国罗氏公司产品;其他常规化学试剂均为国产分析纯。真核表达载体 pBI121 和农杆菌 LBA4404 为本实验室保存。

1.2 引物设计

根据 GenBank 上公布的 ACC 氧化酶基因保守序列,利用 Oligo6.0 软件设计一对 PCR 扩增引物:上游引物为 5' TTGTGAGAACTGGGCTTCTTTGAG 3',下游引物为 5' TCATAGCTTCAAACCTTGTTCTTT 3',引物由上海生工公司合成。

1.3 RNA 提取及 RT-PCR

鸭梨果实总 RNA 提取和纯化参考改良 CTAB 法(董楨,2007)进行。纯化后的 RNA 在 RTase M-MLV 的作用下,以 Oligo(dT) 15 为引物进行反转录合成。以获得的反转录产物为模板,进行 PCR 扩增,反应总体积为 25 μ L,其中包含模板 50 ng、10 \times PCR Buffer 2.5 μ L、Taq 酶 1.5 U 以及上下游引物各 30 ng, Mg^{2+} 浓度为 2.0 mmol \cdot L $^{-1}$, dNTP 浓度为 0.25 mmol \cdot L $^{-1}$ 。PCR 反应在德国 Biometra 公司生产的 T Gradient PCR 仪中进行,扩增程序为:94℃预变性 7 min,94℃变性 50 s,52℃退火 1 min,72℃延伸 1 min,共 35 个循环;72℃完全延伸 5 min。

1.4 目的片段的克隆与测序

PCR 产物经 1%琼脂糖凝胶电泳分离后,用 DNA 胶回收试剂盒收集目的片段,并与 pUCm-T Vector 连接,热击法转化到大肠杆菌 DH5 α 感受态细胞中进行蓝白斑筛选。挑取阳性重组菌落扩繁后用少量抽提试剂盒提取质粒,酶切鉴定后,将菌液送上海生工公司进行测序。

1.5 鸭梨 ACC 氧化酶基因反向插入表达载体及转化农杆菌

对经测序鉴定后 ACC 氧化酶基因片段反向插入在 pUCm-T Vector 多克隆位点的重组质粒以及真核表达载体 pBI121 进行 XbaI/SacI 双酶切,电泳分离后分别回收目标基因片段和切除 Gus 基因的 pBI121 线性载体,用 T4 连接酶连接过夜后,冻融法转化农杆菌 LBA4404,在 Kan/Rif 抗生素平板上筛选重组菌落,扩繁后小量抽提试剂盒回收质粒,分别用 XbaI/SacI 酶切和 PCR 鉴定。PCR 引物及反应条件同前所述。

1.6 鸭梨的遗传转化

参照李桂琴等(2010a,b)构建的鸭梨的再生体系和遗传转化体系进行鸭梨的遗传转化。将预培养 2 d 的鸭梨叶片愈伤组织作为遗传转化的起始材料,置于 OD $_{600}$ 为 0.8 的农杆菌菌液中浸渍 10 min,用滤纸吸去多余的菌液,接种于再生培养基(NN69+BA3.0 mg \cdot L $^{-1}$ +IAA0.5 mg \cdot L $^{-1}$)避光共培养 2 d,再加入 200 μ g \cdot mL $^{-1}$ 的

头孢噻肟钠 (Cef) 抑菌。然后将抗性芽转入芽再生选择培养基 ($\text{NN69} + \text{BA} 3.0 \text{ mg} \cdot \text{L}^{-1} + \text{IAA} 0.5 \text{ mg} \cdot \text{L}^{-1} + \text{Cef} 200 \text{ mg} \cdot \text{L}^{-1} + \text{Kan} 5 \text{ mg} \cdot \text{L}^{-1}$) 培养, 待不定芽长度为 4~6 cm 时, 切取带有顶芽或腋芽的片段 1.5~2 cm, 接种于抗性苗筛选培养基 ($\text{MS} + \text{BA} 1.0 \text{ mg} \cdot \text{L}^{-1} + \text{NAA} 0.5 \text{ mg} \cdot \text{L}^{-1} + \text{Cef} 200 \text{ mg} \cdot \text{L}^{-1} + \text{Kan} 20 \text{ mg} \cdot \text{L}^{-1}$) 上培养, 筛选卡那霉素抗性鸭梨再生苗。

1.7 转基因鸭梨的 PCR 鉴定

根据 GenBank 公布的 NPT II 基因序列设计一对特异性引物, 上游引物 (5' CGTCTGTCGAGAAGTTTC 3') 和下游引物 (5' TACTTCTACACAGCCATC 3'), 按大连宝生物工程有限公司基因组提取试剂盒提供的方法提取卡那霉素抗性转基因鸭梨 DNA, 进行 PCR 扩增。取 10 μL PCR 产物, 加入 6 \times Loading Buffer 2 μL , 充分混匀后在 1% 琼脂糖凝胶、5 V/cm 电压下, 电泳 20 min 后显影、照相。

1.8 转基因鸭梨的 Southern 杂交分析

根据 35S 启动子序列设计一对引物, 上游引物 (5' AGGCTTACGCAGCAGGTCTCAT 3') 和下游引物 (5' GGAAGGGTCTTGCGAAGGAATG 5'), 以 pBI121 质粒为模板, PCR 扩增制备 Southern 杂交探针, 与 *EcoR* I 消化的转基因鸭梨基因组进行 Southern 杂交, 探针制备和 Southern 杂交参照美国罗氏公司地高辛标记和检测试剂盒说明书, 以检测转入的反义 ACC 氧化酶基因片段在基因组中的拷贝数。

2 结果与分析

2.1 鸭梨 ACC 氧化酶基因 cDNA 片段的克隆和分析

根据 ACC 氧化酶基因的保守序列设计一对特异性引物, 以成熟鸭梨果实总 RNA 为模板进

行 RT-PCR 扩增, 得到一条长度约为 850 bp 的 cDNA 片段, 如图 1 所示。将该片段回收、纯化后与 pUCm-T Vector 连接, 转化大肠杆菌 DH5 α 感受态细胞, 经蓝白斑筛选后, 挑取阳性菌落扩繁, 并用小量抽提试剂盒回收重组质粒, 经 *EcoR* I 和 *Xba* I 双酶切后电泳, 结果如图 2 所示。重组质粒均可酶切出两条片段, 除 2 800 bp 左右的 pUCm-T Vector 自身片段外, 还有一条 850 bp 左右的插入片段, 与扩增片段长度相符, 证实扩增片段已成功的插入重组质粒中。

将经酶切鉴定的阳性菌落送交上海生工公司进行测序, 测序结果表明, 所克隆的 cDNA 片段长度为 831 bp, 其最大读码框位于 2~829 bp 之间, 共 828 个碱基, 编码 276 个氨基酸残基 (图 3)。在 GenBank 上共检索到 9 个梨 ACC 氧化酶基因 cDNA 序列, GenBank 编号分别为 EF451060 (幸水梨)、D67038 (长十郎梨)、EU047708 (雪花梨)、AB265797 (鸭梨)、X87097 (帕斯-卡桑梨)、EU047709 (黄金梨)、EU047710 (茄梨)、AJ504857 (葡脆梨) 和 AB042111 (长十郎梨)。借助 DNASTAR 软件, 将这些序列与已克隆片段 (PY-ACO1) 进行核酸序列同源性比较可知 (图 4), 所克隆的基因片段与其它 9 个品种梨 ACC 氧化酶基因 cDNA 序列的同源性均在 94% 以上, 其中与幸水梨、长十郎梨和雪花梨的 ACC 氧化酶基因的 cds 序列同源性近似 100%。这说明本研

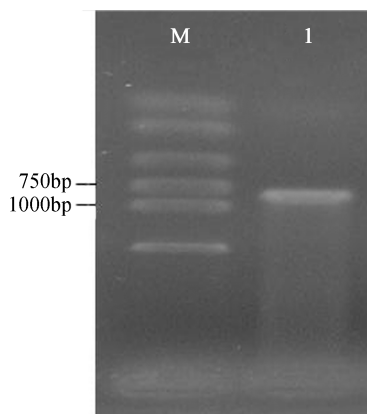


图1 RT-PCR 电泳结果

Fig. 1 Agarose gel electrophoresis result of RT-PCR

M: DL2000 Marker; Lane 1: PCR produce

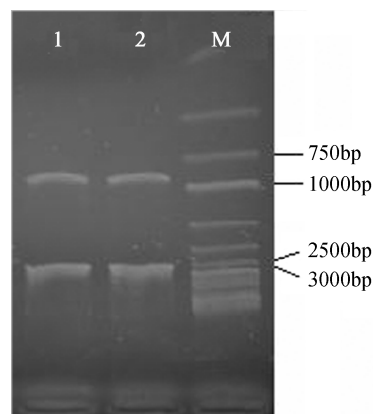


图2 重组质粒经 *EcoR* I 和 *Xba* I 双酶切后电泳图谱

Fig. 2 Electrophoresis pattern of recombinant plasmid

doubledigested by *EcoR* I and *Xba* I

Lane 1&2: Recombinant plasmid double-digested by

EcoR I and *Xba* I; M: 1 kb DNA Ladder

品种 ACC 氧化酶基因 cDNA 序列一致性很高，因而可以判定此片段为鸭梨的 ACC 氧化酶基因 cDNA 片段。将此片段命名为 PY-ACO1，并登陆 GenBank，登陆号为 EU333282。

2.2 鸭梨 ACC 氧化酶基因反义表达载体的构建

PY-ACO1 在克隆到载体 pUCm-T Vector 时存

```
1      TTGTGAGAACTGGGGTTTCTTTGAGTTGGTGAACCATGGGATATCTACTGAGCTTTTGG
1      C E N W G F F E L V N H G I S T E L L D
61     CACTGTGGAGAAGATGACCAAGGATCACTACAAGAAGACCATGGAGCAAAGGTTTAAGGA
21     T V E K M T K D H Y K K T M E Q R F K E
121    AATGGTGGCAGCAAAGGCCTCGACGCTGCCAGTCCGAAATCCACGACTTGGACTGGGA
41     M V A A K G L D A V Q S E I H D L D W E
181    AAGCACCTTCTTCTTGCGCCACCTTCCTTCTCAAACATTTCCGAAGTCCCTGATCTCGA
61     S T F F L R H L P S S N I S E V P D L E
241    GGAAGATTACAGGAAGACCATGAAAGAATTTGCAGTGGAAGTGGAGAAGCTAGCTGAGAA
81     E D Y R K T M K E F A V E L E K L A E K
301    GCTTTTGGACTTGCTGTGTGAGAATCTTGGACTCGAGAAGGGTTATCTGAAGAAGGTTTT
101    L L D L L C E N L G L E K G Y L K K V F
361    CTATGGATCCAAGGGTCCGAATTTTGGGACCAAGGTCAGCAACTACCTCCATGCCCCAA
121    Y G S K G P N F G T K V S N Y P P C P K
421    GCCAGACCTGATCAAGGGACTCCGGGCCACAGCGACGCCGGTGGCATCATCCTGCTTTT
141    P D L I K G L R A H S D A G G I I L L F
481    CCAGGATGACAAGGTCAGCGGCCTCCAGCTTCTCAAGGATGGTGAATGGGTGGATGTCCC
161    Q D D K V S G L Q L L K D G E W V D V P
541    CCCAATGCACCACTCCATTGTCATAAACTTAGGTGACCAGATTGAGGTGATCACCAATGG
181    P M H H S I V I N L G D Q I E V I T N G
601    GAAGTACAAGAGTGTGATGCACCGGTGATAGCTCAGTCGGACGGGACCAGAATGTGAT
201    K Y K S V M H R V I A Q S D G T R M S I
661    AGCCTCGTTCTACAACCCAGGCGATGATGCCTTTATCAGCCCAGCACCGGCAGTGCTTGA
221    A S F Y N P G D D A F I S P A P A V L E
721    GAAGAAAAGTGAAGGACGCCCCAACTTATCCCAAGTTTGTGTTTGATGACTACATGAAGCT
241    K K T E D A P T Y P K F V F D D Y M K L
781    GTATTCTGGCCTGAAATTCCAAGCCAAAGAACCAAGTTTGAAGCTATGAA
261    Y S G L K F Q A K E P K F E A M
```

图3 鸭梨 ACC 氧化酶基因片段的 cDNA 序列及其推导的氨基酸序列

Fig. 3 The nucleotide and deduce amino acids of cDNA fragment encoding ACC oxidase from Yali fruit

Percent Identity													
	1	2	3	4	5	6	7	8	9	10			
Divergence	1		94.1	88.9	85.9	88.2	93.9	93.4	93.0	94.8	90.0	1	AB042111
	2	5.9		97.0	98.7	98.7	98.3	97.8	97.7	98.4	97.2	2	AB265797
	3	9.6	2.9		96.2	97.7	96.8	96.1	96.4	97.7	97.7	3	AJ504857
	4	9.0	1.1	3.3		96.2	98.7	98.1	97.7	99.6	96.5	4	D67038
	5	9.0	1.1	2.1	2.1		98.7	98.1	97.7	99.6	98.1	5	EF451060
	6	6.3	1.6	3.2	1.2	1.2		98.6	98.2	99.3	97.0	6	EU047708
	7	6.8	2.0	3.7	1.6	1.6	1.9		97.3	98.8	96.5	7	EU047709
	8	6.1	1.9	2.4	1.1	1.1	1.2	1.7		97.7	96.7	8	EU047710
	9	5.4	1.4	2.3	0.4	0.4	0.7	1.5	1.1		98.0	9	PY-ACO1
	10	8.4	2.2	1.9	3.0	1.6	2.6	3.1	1.8	1.7		10	X87097
	1	2	3	4	5	6	7	8	9	10			

图4 不同梨品种 ACC 氧化酶基因同源性分析

Fig. 4 Sequence distances assay of ACO genes from different cultivar of pears

在正、反两种插入方式,选择经测序验证 PY-ACO1 反向插入 pUCm-T Vector 的重组质粒,进行 *Xba* I/*Sac* I 双酶切,电泳回收小片段,与用同样酶切的 pBI121 线性载体进行定向连接,构建鸭梨 ACC 氧化酶的反义表达载体。构建好的反义表达载体图谱如图 5 所示。

将获得的反义表达载体转化农杆菌 LBA4404,在 Kan/Rif 抗生素平板挑取单菌落进行扩繁,回收质粒后进行 *Xba* I/*Sac* I 双酶切鉴定,结果显示酶切出 850 bp 左右片段(图 6),与 PY-ACO1 片段长度相符;进一步以 PY-ACO1 引物对提取的质粒进行 PCR 鉴定,扩增结果同图 1,再次证实鸭梨 ACC 氧化酶反义表达载体构建成功并已导入农杆菌 LBA4404,该农杆菌工程菌可用于遗传转化的研究。

2.3 农杆菌介导的反义表达载体对鸭梨的遗传转化

参照李桂琴等(2010a,b)构建的鸭梨的再生体系和遗传转化体系进行鸭梨的遗传转化。以预培养 2 d 的鸭梨叶片愈伤组织为起始材料,置于 OD₆₀₀ 为 0.8 的农杆菌工程菌液中浸渍 10 min,

其后接种于再生培养基中避光共培养 2 d,再加入 200 $\mu\text{g} \cdot \text{mL}^{-1}$ 的头孢噻肟钠(Cef)抑菌。一周后,共长出抗性芽 412 个。将抗性芽转入再生选择培养基培养,待不定芽长度长至 4~6 cm 时,切取带有顶芽或腋芽的片段 1.5~2 cm,接种于抗性苗筛选培养基上培养,中间更换培养基一次,最终共得到 Kan 抗性鸭梨苗 29 株,占抗性芽总数的 7.03%。

2.4 转基因鸭梨的 PCR 鉴定

提取 Kan 抗性鸭梨转基因植株总 DNA,根据 GenBank 上公布的 NPT II 基因序列设计一对特异性引物,对鸭梨转基因植株进行 PCR 鉴定,结果如图 7 所示。可以看出,以未转基因鸭梨植株 DNA 为模板的阴性对照(泳道 2)没有扩增产物,而以反义表达载体质粒为模板的阳性对照(泳道 1)和 4 株转基因植株均能扩增出 800 bp 的目标片段,与设计长度相符,初步证实这 4 株鸭梨植株中反义 ACC 氧化酶基因已经成功转化。而另外 25 株鸭梨未能扩增出目标片段,表现为假阳性,占 Kan 抗性植株总数的 86.21%。

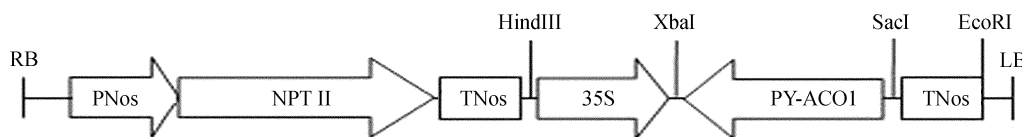


图 5 鸭梨 ACC 氧化酶反义表达载体图谱

Fig. 5 Diagram of antisense express vector of PY-ACO1

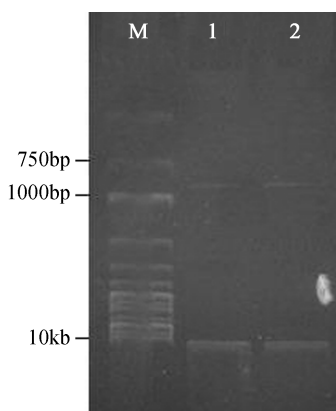


图 6 鸭梨 ACC 氧化酶反义表达载体经 *Sac* I 和 *Xba* I 双酶切后电泳图谱

Fig. 6 Electrophoresis pattern of antisense express vector of PY-ACO1 doubledigest by *Eco*RI and *Xba*I
M: 1 kb DNA Ladder; Lane 1&2: antisense express vector of PY-ACO1

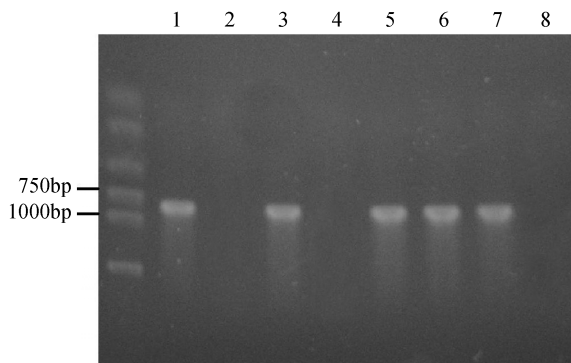


图 7 鸭梨转基因植株 PCR 鉴定结果
(泳道 1 为阳性对照;泳道 2 为阴性对照;
泳道 3~8 为鸭梨转基因植株)

Fig. 7 PCR analysis of transgenic Yali plant
(Line 1 is positive control; line 2 is negative control;
line 3~8 is transgenic Yali plants)

2.5 转基因鸭梨的 Southern 杂交分析

将经 PCR 鉴定呈阳性的转基因鸭梨植株总 DNA 用 *EcoR* I 酶切后,电泳转膜,以 35S 启动子片段为探针进行 Southern 杂交,对转基因植株进行进一步鉴定。Southern 杂交结果(图 8)表明,4 株经 PCR 鉴定呈阳性的鸭梨转基因植株(泳道 3~5)均检测到了杂交信号,外源基因转入植株的拷贝数除 1 株(第 6 泳道)为双拷贝外,其中 3 株均为单拷贝;而未转化对照植株中没有出现任何杂交信号。从而再次证实鸭梨 ACC 氧化酶反义基因已经成功转化到了这 4 棵植株中。

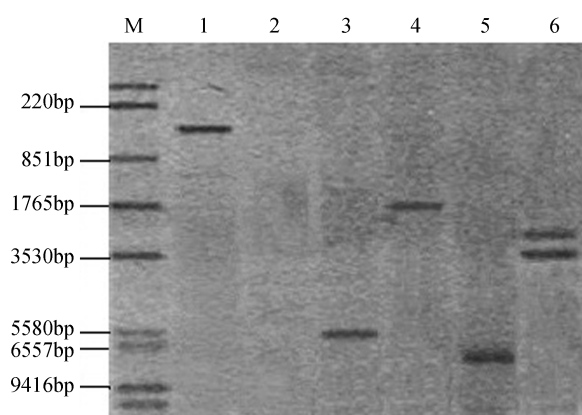


图 8 转基因鸭梨植株的 Southern 杂交分析结果
(M 为地高辛标记的 DNA marker; 1 为阳性对照; 2 为未转基因鸭梨植株; 3~6 为转基因鸭梨植株)

Fig. 8 Southern blot analysis of transgenic Yali plants
(M: Dig labeled DNA marker; line 1 is positive control; line 2 is negative control; line 3~6 is transgenic Yali plants)

3 讨论

鸭梨为多年生木本果树,因其具有童期长、基因高度杂合的特性,使得借助传统育种方法育种困难重重,而反义 RNA 技术凭借其专一性高、育种周期短的优势给梨育种带来了一条新的途径。借助反义 RNA 技术,将 ACC 氧化酶基因片段反向连接在一启动子上并转化梨植株,必将会极大的加快耐储梨新品种的培育步伐。对于反义 RNA 技术而言,构建到反义表达载体中的基因片段正确与否关乎整个实验的成败。本研究根据 ACC 氧化酶基因保守序列设计引物,借助 RT-PCR 方法所克隆的 cDNA 片段经序列分析显示出与其它梨品种来源 ACC 氧化酶基因序列的高度

同源性,这充分证实该片段为鸭梨 ACC 氧化酶基因组成部分,以此片段制备的反义表达载体可特异性抑制鸭梨内源 ACC 氧化酶基因的表达。同时,也正是基于该片段与其他梨品种 ACC 氧化酶基因序列的高度同源,本研究所构建的反义表达载体也可以应用到其它梨品种的转基因研究中,而不受到品种区别的限制,这会给今后开展其它梨品种应用反义 RNA 技术延长果实贮藏期带来很大的方便。

李桂琴等(2010a,b)构建了鸭梨的再生体系和遗传转化体系,本研究对鸭梨的遗传转化是在其再生体系的基础上进行的,但考虑到所应用的农杆菌类型不同、抑菌素类型不同(其农杆菌为 EHA105,抑菌素为羧苄青霉素),我们对影响鸭梨遗传转化的因素进行了再次分析(未发表)。结果发现,除农杆菌工程菌液浓度、侵染时间不同外,其它遗传转化条件均一致。可见,与植物基因型相比,农杆菌类型对遗传转化体系的影响较小,仅局限于侵染条件有所区别。但是对于同一物种应用不同的农杆菌进行遗传转化时,还是应根据农杆菌的类型对已有的遗传转化体系进行适当调整,方能有效的实现外源基因的转化。

一般说来,对于转基因植物的鉴定,最直接、简单的方式莫过于分子水平的检测。PCR 扩增、Southern 杂交和 Northern 杂交是常用的分子水平检测方法。在本研究中由于向鸭梨植株中转化的是反义 ACC 氧化酶基因片段,受基因组自身含有 ACC 氧化酶基因的影响,我们如果直接针对转入的反义片段进行鉴定,将有可能做出错误的推断。因此,PCR 扩增、Southern 分析都是围绕着与反义片段同时转入的 NPT II 基因和 35S 启动子进行的。尽管从分子水平上讲这种验证是间接的,但在反义表达载体构建时,NPT II 基因、35S 启动子和目的基因是连接在一起的,因而我们有理由相信目的基因也一并插入到了受体基因组中,这在其它反义遗传转化中也已得到证实(叶志彪,2000)。

在转基因的研究中,抗生素筛选呈阳性,而经分子水平检测呈假阳性的现象常有发生(Urban 等,1994; Mitiouchkina 和 Dolgov, 2000)。在本研究中,共得到 29 个卡那霉素抗性苗,但经

PCR 检测确定为转化株的抗性苗仅有 4 株, PCR 阳性率为 13.79%。导致假阳性率偏高的原因, 可能由于我们仅对抗性苗进行了两代筛选, 且卡那霉素浓度较低, 筛选压不够造成的; 或者有可能在假阳性苗上存在有残留农杆菌, 降低了其周围培养基中的卡那霉素浓度, 从而让其逃避了选择压力而继续生长。过多假阳性苗给我们的鉴定工作带来了诸多不便, 因此我们建议在鸭梨的遗传转化研究中可适当加大卡那霉素的筛选浓度并增加筛选代数, 同时也要注意残留农杆菌的清除工作, 以最大程度的抑制假阳性的发生, 节省科研工作量。

大量研究证实 ACC 氧化酶在植物体内存在同工酶, 其编码基因构成多基因家族 (Kim 和 Yang, 1994; Kahana 等, 1999), 基因家族成员间具有不同的功能和时空表达模式, 分别负责系统 1 型和系统 2 型乙烯的内源合成 (McMurchie 等, 1972; Yang 和 Hoffman, 1984)。梨上是否存在 ACC 氧化酶基因家族目前虽然并不清楚, 但在本研究中所用反义转化的鸭梨 ACC 氧化酶基因片段克隆自鸭梨果实, 并仅在鸭梨花和果实中表达 (结果将于近期发表), 所以我们推测该 ACC 氧化酶基因主要负责鸭梨生殖器官中系统 2 型乙烯的合成, 而营养器官中低速率基础乙烯的生成, 即系统 1 型乙烯的生物合成由其它 ACC 氧化酶基因家族成员调控。也正是由于该鸭梨 ACC 氧化酶基因在营养器官中不表达, 受材料的限制, 我们未对转基因鸭梨中反义 RNA 的抑制效果做 Northern 杂交等基因表达水平检测, 相关的鉴定只能等待转基因鸭梨日后开花、结果后方能进行。

[参 考 文 献]

- Adams DO, Yang SF, 1979. Ethylene biosynthesis: identification of 1-aminocyclopropane-1-carboxylic acid as an intermediate in the conversion of methionine to ethylene [J]. *Proceedings of the National Academy of Sciences of the United States of America*, **76**: 170—174
- Dong Z (董祯), 2007. The study on the ACC oxidase genes clone of pear fruit [D]. Baoding: Agricultural University of Hebei Province
- Kahana A, Silberstein L, Kessler N *et al.*, 1999. Expression of ACC oxidase genes differs among sex genotypes and sex phases in cucumber [J]. *Plant Molecular Biology*, **41** (4): 517—528
- Kim WT, Yang SF, 1994. Structure and expression of cDNAs encoding 1-aminocyclopropane-1-carboxylate oxidase homologs isolated from excised mung bean hypocotyls [J]. *Planta*, **194** (1): 223—229
- Li GQ (李桂琴), Qi J (齐靖), Gao ZH (高志华) *et al.*, 2010a. Construction and transformation for antisense expression vector of polyphenol oxidase gene in Yali pear (*Pyrus bretschneideri* Rehd.) [J]. *Journal of Plant Genetic Resources* (植物遗传资源学报), **05**: 635—639
- Li GQ (李桂琴), Zhang YX (张玉星), Gao ZH (高志华) *et al.*, 2010b. Establishment of shoot regeneration system from leaf Yali pear [J]. *Journal of Fruit Science* (果树学报), **03**: 436—440
- Li JZ (李家政), Yang WD (杨卫东), Ma J (马骏) *et al.*, 2012. Effects of high carbon dioxide permeability film packaging on post-harvest physiology and storage properties of Yali pear fruit [J]. *Storage & Process* (保鲜与加工), **12** (1): 16—19
- McMurchie EJ, McGlasson WB, Eaks IL, 1972. Treatment of fruit with propylene gives information about the biogenesis of ethylene [J]. *Nature*, **237**: 235—236
- Mitiouchkina TY, Dolgov SV, 2000. Modification of chrysanthemum plant and flower architecture by *rolC* gene from *Agrobacterium rhizogenes* introduction [J]. *Acta Horticulturae*, **508**: 163—169
- Urban LA, Sherman JM, Moyer JW *et al.*, 1994. High frequency shoot regeneration and *Agrobacterium*-mediated transformation of chrysanthemum (*Dendranthema grandiflora*) [J]. *Plant Science*, **98** (1): 69—79
- Yang SF, Hoffman NE, 1984. Ethylene biosynthesis and its regulation in high plants [J]. *Annual Review of Plant Physiology*, **35**: 155—189
- Ye ZB (叶志彪), 2000. Genetic transformation with antisense cDNA of ethylene-forming enzyme and the breeding of longer shelf-life cultivar in tomato [D]. Wuhan: Huazhong Agricultural University
- Zhang XS (张宪省), Yan XX (阎先喜), 1994. Progress in fruit ripening by controlling ethylene [J]. *Journal of Shandong Agricultural University* (山东农业大学学报), **25** (4): 487—490
- Zhu L (朱麟), Li JK (李江阔), Zhang J (张静) *et al.*, 2009. Effects of 1-MCP treatment on Ya pear storage of different harvest [J]. *Northern Horticulture* (北方园艺), **5**: 222—224